Révision: 5642

Date: 15/02/2011 Page: 1/20

Clé: V7.31.112

Titre : WTNV112 - Écoulement gravitaire dans un milieu por[...]

Responsable : Sylvie GRANET

WTNV112 – Ecoulement gravitaire dans un milieu poreux non saturé

Résumé:

On étudie le comportement hydraulique d'un milieu poreux non saturé. Cinq modélisations sont effectuées : l'une est tridimensionnelle (modélisation B) et les quatre autres sont bidimensionnelles (modélisations A,C,D,E)

Ce test consiste à étudier l'influence d'un écoulement gravitaire sur la distribution de la pression des fluides (liquide et gaz) du milieu non saturé.

Les modèles étudiés sont 2D plans (DPQ8 et DPTR6) et 3D volumique HEXA20 avec un comportement linéaire, il s'agit d'un problème évolutif.

La solution de référence est unidimensionnelle car elle ne dépend que de la coordonnée verticale.

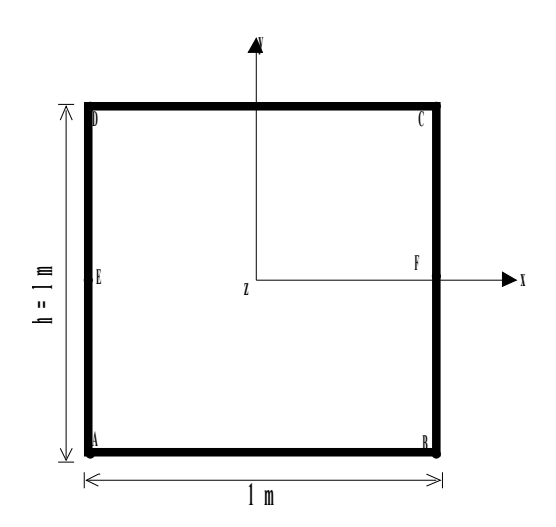
Date: 15/02/2011 Page: 2/20 Responsable: Sylvie GRANET Clé: V7.31.112 Révision: 5642

Problème de référence

1.1 **Présentation**

On étudie dans ce cas test le comportement hydraulique d'un milieu poreux non saturé constitué de deux fluides : l'eau dans sa phase liquide et l'air sec. Il s'agit dans Code_Aster d'une modélisation HHM. La loi de comportement des fluides associée est de type LIQU GAZ.

1.2 Géométrie



Coordonnées des points (m):

$$A:-0,5-0,5$$

$$B: 0.5-0.5$$

$$D:-0.50.5$$

Date: 15/02/2011 Page: 3/20 Responsable: Sylvie GRANET Clé: V7.31.112 Révision: 5642

1.3 Propriétés du matériau

Fluide (eau liquide)	Masse volumique $(kg.m^{-3})$	10^3
	Compressibilité du liquide (Pa)	10^7
	Viscosité dynamique de l'eau liquide $(Pa.s)$	10^{-3}
	Dérivée de la viscosité du fluide par rapport à la température	0.
	Masse molaire $(kg.Pa.K^{-1})$	1.8×10^{-3}
Gaz (air sec)	Viscosité du gaz (<i>Pa.s</i>)	10^{-5}
, ,	Dérivée de la viscosité du gaz par rapport à la température	0.
Coefficients	Coefficient de Biot	1.
d'homogénéisation	Porosité	0.14
	Constante des gaz parfaits	8.315
	Masse volumique homogénéisée $(kg.m^{-3})$	1.6×10^{3}
	Saturation	0.5
Coefficients	Dérivée de la saturation par rapport à la pression	0.
homogénéisés	Pesanteur suivant X	0.
	Pesanteur suivant Y	-10 en 2D, 0 en 3D
	Pesanteur suivant Z	-10 en 3D, 0 en 2D
	Perméabilité intrinsèque (m^2)	10^{-18}
	Perméabilité relative au liquide (m^2)	1.
	Perméabilité relative au gaz (m^2)	1.

Conditions aux limites et chargements 1.4

•Élément complet :

•déplacements $u_x = 0.0 \, m$, $u_y = 0.0 \, m$, $u_z = 0.0 \, m$.

Conditions initiales 1.5

Les champs de déplacement, de pression capillaire sont initialement nuls, la pression d'air sec est égale à la pression atmosphérique et la température de référence vaut $T_0 = 273 \, ^{\circ} K$

Date: 15/02/2011 Page: 4/20 Responsable: Sylvie GRANET Clé: V7.31.112 Révision: 5642

Solution de référence

2.1 Méthode de calcul utilisée pour la solution de référence

L'équation de conservation de la masse fluide est donnée par l'expression suivante :

$$\frac{dm_i}{dt} + DivM_i = 0 i variant de 1 au nombre de constituants (1)$$

Dans notre exemple, le modèle est constitué de deux fluides : l'eau liquide (e) et l'air sec (a) . L'équation (1) se divise donc en deux :

$$\begin{cases} \frac{dm_e}{dt} + DivM_e = 0\\ \frac{dm_a}{dt} + DivM_a = 0 \end{cases}$$
 (2)

Les flux de fluide ont pour expression :

$$\begin{cases}
M_e = \rho_e \lambda_e (-\nabla p_e + \rho_e g) \\
M_a = \rho_a \lambda_a (-\nabla p_a + \rho_a g)
\end{cases}$$
(3)

Or l'apport massique de fluide est défini par les équations (4) où $N = \begin{vmatrix} N_{ee} & N_{ea} \\ N_{ae} & N_{aa} \end{vmatrix}$ est une matrice

symétrique dont les termes (équations (5)) dépendent du degré de saturation S , de la porosité ϕ , du coefficient de $\mathit{Biot}\,b$, de la perméabilité du liquide et K_{e} de l'élasticité de la matrice solide K_{s}

 $\frac{dm_e}{dt} = \rho_e N_{ee} \frac{dp_e}{dt} + \rho_e N_{ea} \frac{dp_a}{dt}$ (4) $\frac{dm_a}{dt} = \rho_a N_{ae} \frac{dp_e}{dt} + \rho_a N_{aa} \frac{dp_a}{dt}$

$$N_{ee} = -\varphi \frac{\partial S}{\partial p_c} + S \left(\frac{\varphi}{K_e} + \frac{b - \varphi}{K_s} S \right)$$

$$N_{aa} = -\varphi \frac{\partial S}{\partial p_c} + (1 - S) \left(\frac{\varphi}{p_a} + \frac{b - \varphi}{K_s} (1 - S) \right)$$

$$N_{ea} = N_{ae} = \varphi \frac{\partial S}{\partial p_c} + (1 - S) \left(\frac{b - \varphi}{K_s} S \right)$$
(5)

Responsable : Sylvie GRANET

Date: 15/02/2011 Page: 5/20 Clé: V7.31.112 Révision: 5642

La formulation variationnelle des équations (2), en tenant compte de (3) et (4) est :

$$\begin{cases}
\int_{\Omega} N_{ee} \frac{dp_{e}}{dt} p_{e}^{*} + \int_{\Omega} N_{ea} \frac{dp_{a}}{dt} p_{e}^{*} + \int_{\Omega} \lambda_{e} \nabla p_{e} \cdot \nabla p_{e}^{*} = \int_{\Omega} \lambda_{e} \rho_{e} g \cdot \nabla p_{e}^{*} - \int_{\partial\Omega} \frac{M_{e}^{ext}}{\rho_{e}} p_{e}^{*} \\
\int_{\Omega} N_{ea} \frac{dp_{e}}{dt} p_{a}^{*} + \int_{\Omega} N_{aa} \frac{dp_{a}}{dt} p_{a}^{*} + \int_{\Omega} \lambda_{a} \nabla p_{a} \cdot \nabla p_{a}^{*} = \int_{\Omega} \lambda_{a} \rho_{a} g \cdot \nabla p_{a}^{*} - \int_{\partial\Omega} \frac{M_{e}^{ext}}{\rho_{a}} p_{a}^{*}
\end{cases} (6)$$

Discrétisation

Pour le calcul de la solution analytique, on se place dans un cas unidimensionnel avec un seul élément de degré 1 .

Remarque:

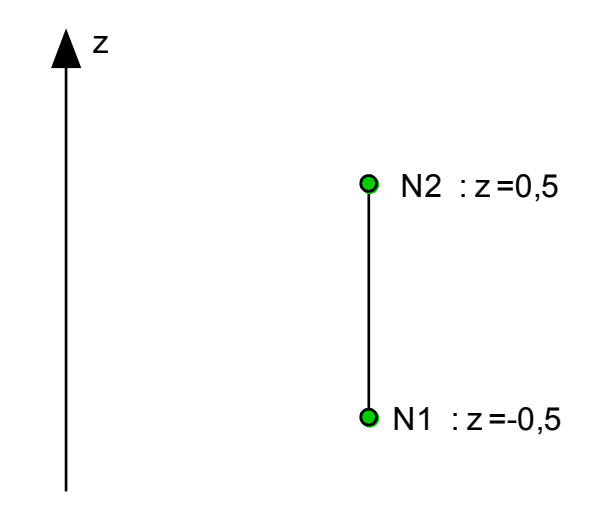
En *THM*, tous les maillages doivent être quadratiques, mais dans le cas hydraulique l'intégration est toujours linéaire (les nœuds milieux sont ignorés).

On suppose dans les deux cas que la pesanteur est orientée selon les z négatifs.

On suppose d'autre part que les non-linéarités sont faibles et que les coefficients N, λ , ρ sont constants. Il faut donc que les variations de pression soient suffisamment faibles pour que N et ρ puissent être supposés constants.

En hydraulique, la discrétisation sera toujours linéaire.

Discrétisation linéaire :



On écrira:

$$p(z,t) = \sum_{i=1}^{2} p^{i}(t)\lambda_{i}(z)$$
(7)

Avec:

Responsable : Sylvie GRANET

Date: 15/02/2011 Page: 6/20 Clé: V7.31.112 Révision: 5642

$$\begin{cases} \lambda_1 = \frac{1}{2} - z \\ \lambda_2 = \frac{1}{2} + z \end{cases} \tag{8}$$

En introduisant alors les matrices et vecteurs :

$$\begin{bmatrix}
A \end{bmatrix} = \begin{bmatrix} A_{ij} \end{bmatrix} ; A_{ij} = \int_{-1/2}^{1/2} \lambda_i \lambda_j dz \\
B \end{bmatrix} = \begin{bmatrix} B_{ij} \end{bmatrix} ; B_{ij} = \int_{-1/2}^{1/2} \frac{d \lambda_i}{dz} \frac{d \lambda_j}{dz} dz \\
F_g \} = \{ F_{gi} \} ; F_{gj} = \int_{-1/2}^{1/2} \frac{d \lambda_i}{dz} dz$$
(9)

Et en notant :

$$\{p_e\} = \begin{cases} P_e^1 \\ p_e^2 \end{cases} ; \{p_a\} = \begin{cases} P_a^1 \\ p_a^2 \end{cases}$$
 (10)

$$\{M_{e}^{ext}\} = \begin{bmatrix} M_{e-1}^{ext} \\ M_{e-2}^{ext} \end{bmatrix} ; \{M_{a}^{ext}\} = \begin{bmatrix} M_{a-1}^{ext} \\ M_{a-2}^{ext} \end{bmatrix}$$
 (11)

Les équations (6) deviennent :

$$\left(\frac{N_{ee}}{\lambda_{e}}[A]\left(\frac{dp_{e}}{dt}\right) + \frac{N_{ea}}{\lambda_{e}}[A]\left(\frac{dp_{a}}{dt}\right) + [B]\{p_{e}\} = \rho_{e}\{F_{g}\} - \frac{1}{\lambda_{e}\rho_{e}}\{M_{e}^{ext}\} - \frac{N_{ae}}{\lambda_{a}}[A]\left(\frac{dp_{e}}{dt}\right) + \frac{N_{aa}}{\lambda_{a}}[A]\left(\frac{dp_{a}}{dt}\right) + [B]\{p_{a}\} = \rho_{a}\{F_{g}\} - \frac{1}{\lambda_{a}\rho_{a}}\{M_{a}^{ext}\} - \frac{1}{$$

Le calcul des matrices [A] et [B] et du vecteur $\{F\}$ donne :

$$[A] = \frac{1}{3} \begin{bmatrix} 1 & 1/2 \\ 1/2 & 1 \end{bmatrix} \quad ; \quad [B] = \begin{bmatrix} 1 & -1 \\ -1 & 1 \end{bmatrix} \quad ; \quad \{F_g\} = \begin{bmatrix} -1 \\ 1 \end{bmatrix}$$
 (13)

On définit alors $\{v_1\}$, $\{v_2\}$ les vecteurs propres de $[A]^{-1}[B]$.

On a les propriétés :

$$\{v_i\}^T[A]\{v_j\} = \{v_i\}^T[B]\{v_j\} = 0 \quad si \quad i \neq j$$
 (14)

Et on pose:

$$a_i = \{v_i\}^T [A] \{v_i\}$$
, $b_i = \{v_i\}^T [B] \{v_i\}$, $f_i = \{v_i\}^T \{F_g\} et M^i = \{v_i\}^T \{M^{ext}\}$ (15)

Titre: WTNV112 - Écoulement gravitaire dans un milieu por[...]
Responsable: Sylvie GRANET

Date: 15/02/2011 Page: 7/20 Clé: V7.31.112 Révision: 5642

On trouve:

$$\{v_1\} = \{1 \\ 1\} \qquad ; \qquad \{v_2\} = \{-1 \\ 1\}$$
 (16)

$$\begin{cases} a_1 = 1 & ; b_1 = 0 \\ a_2 = \frac{1}{3} & ; b_2 = 4 \\ \end{cases} ; f_2 = -2g$$
 (17)

On décompose alors $\{p_e\}$ et $\{p_a\}$ sur la base des $\{v_i\}$

$$\{p_e\} = \sum_{i=1}^{2} \alpha_e^i \{v_i\}$$
 ; $\{p_a\} = \sum_{i=1}^{2} \alpha_a^i \{v_i\}$ (18)

Compte tenu des propriétés d'orthogonalité (14), le système d'équations (12) s'écrit :

$$\left\{
\frac{N_{ee}}{\lambda_e} a_i \frac{d\alpha_e^i}{dt} + \frac{N_{ea}}{\lambda_e} a_i \frac{d\alpha_a^i}{dt} + b_i \alpha_e^i = \rho_e f_i - \frac{1}{\lambda_e \rho_e} M_e^i \right.$$

$$\left\{
\frac{N_{ae}}{\lambda_a} a_i \frac{d\alpha_e^i}{dt} + \frac{N_{aa}}{\lambda_a} a_i \frac{d\alpha_a^i}{dt} + b_i \alpha_a^i = \rho_a f_i - \frac{1}{\lambda_a \rho_a} M_a^i \right.$$
(19)

Posant:

$$\{\alpha^{i}\} = \{\begin{matrix} \alpha_{e}^{i} \\ \alpha_{a}^{i} \end{matrix} ; \quad [N] = \begin{bmatrix} N_{ee} & N_{ea} \\ N_{ae} & N_{aa} \end{bmatrix} \quad ; \quad [L] = \begin{bmatrix} \lambda_{e} & 0 \\ 0 & \lambda_{a} \end{bmatrix}$$
 (20)

L'équation (19) s'écrit :

$$[N] = \left[\frac{d\alpha^{i}}{dt}\right] + \frac{b_{i}}{a_{i}}[L]\{\alpha^{i}\} = \frac{f_{i}}{a_{i}}\begin{bmatrix}\rho_{e}\lambda_{e}\\\rho_{a}\lambda_{a}\end{bmatrix} - \begin{bmatrix}M_{e}^{i}/\rho_{e}a_{i}\\M_{a}^{i}/\rho_{a}a_{i}\end{bmatrix}$$
(21)

Conditions initiales

On suppose que:

$$\begin{aligned} p_a(x,t=0) &= p_a^0 \\ p_e(x,t=0) &= p_a^0 - p_c^0 \end{aligned} \text{ uniformes en espace };$$

Compte tenu des valeurs des vecteurs $\{v_1\}$, $\{v_2\}$ (équations (16)), on voit facilement que :

$$\alpha_a^1(t=0) = p_a^0 \quad ; \quad \alpha_e^1(t=0) = p_a^0 - p_c^0$$

$$\alpha_a^2(t=0) = \alpha_e^2(t=0) = 0$$
(22)

On se place dans un cas où les équations de l'hydraulique sont découplées $(N_{\it ea}=N_{\it ae}=0)$ et dans lequel les flux de fluide sont nuls $(\{M_{\it e}^{\it ext}\}=\{M_{\it a}^{\it ext}\}=0)$.

Date: 15/02/2011 Page: 8/20 Responsable: Sylvie GRANET Révision: 5642

Compte tenu de (21), de $f_1 = f_3 = 0$ (équations (17)), le système d'équations (21) a pour solution :

On trouve en revenant aux variables nodales :

$$\begin{cases}
P_{1} \\
p_{2}
\end{cases}_{eau} = \begin{cases}
P_{a}^{0} - p_{c}^{0} + \frac{\rho_{e}g}{2} \left(1 - \exp(-12\frac{\lambda_{e}}{N_{ee}}t) \right) \\
P_{a}^{0} - p_{c}^{0} - \frac{\rho_{e}g}{2} \left(1 - \exp(-12\frac{\lambda_{e}}{N_{ee}}t) \right)
\end{cases}$$
(24)

$$\begin{cases}
P_{1} \\
p_{2}
\end{cases}_{air} = \begin{cases}
P_{a}^{0} + \frac{\rho_{a}g}{2} \exp(-12\frac{\lambda_{a}}{N_{aa}}t) \\
P_{a}^{0} - \frac{\rho_{a}g}{2} \exp(-12\frac{\lambda_{a}}{N_{aa}}t)
\end{cases}$$
(25)

et la pression capillaire définie comme la différence entre la pression d'air et la pression d'eau a pour valeur:

$$\begin{bmatrix} P_1 \\ p_2 \end{bmatrix}_{capillaire} = \begin{bmatrix} P_1 \\ p_2 \end{bmatrix}_{air} - \begin{bmatrix} P_1 \\ p_2 \end{bmatrix}_{eau}$$

Nous avons considéré le cas de calcul suivant :

$$S \neq 1$$
 ; $\frac{\partial S}{\partial p_c} = 0$; $K_s = \infty$
 $N_{ee} = S \frac{\varphi}{K}$; $N_{aa} = (1 - S) \frac{\varphi}{p}$

2.2 Grandeur de référence

Evolution de la pression capillaire et de la pression d'air sec en fonction du temps aux points

$$\cdot C$$
, $D(z=h)$

•
$$A.B(z=0)$$

Titre: WTNV112 - Écoulement gravitaire dans un milieu por[...]
Responsable: Sylvie GRANET

Clé: V7.31.112 Révision: 5642

Date: 15/02/2011 Page: 9/20

1) Pour la discrétisation quadratique, vérification de la valeur constante de la pression aux nœuds E , $F(z\!=\!\frac{h}{2})$.

2.3 Incertitudes

Solution analytique sur les équations d'hydrauliques donc incertitudes négligeables pour les modélisations A. B. C.

Attention ces solutions analytiques ne s'appliquent pas aux modélisations sélectives ou lumpées (D et E). En effet, dans ce dernier cas, les intégrations sont faites aux nœuds et non plus aux points de Gauss. En effet l'intégration par point de Gauss est exacte en 1D pour des polynôme de degré inférieur ou égal à 3 et donc pour toutes les intégrales présentées dans l'équation (9). En revanche la méthode d'intégration au sommet n'est exacte que pour les polynômes de degré 1. On voit donc que les termes de la matrice A seront sous intégrés. Il est donc logique que sur un maillage unitaire comme ici les résultats obtenus ici ne soient pas exacts. On conserve cependant ces tests mais avec un résultat en « non régression ».

2.4 Références bibliographiques

Thermo-hydro-mécanique des milieux poreux dans Code_Aster – Note EDF, HI-74/99/011/A

Date: 15/02/2011 Page: 10/20

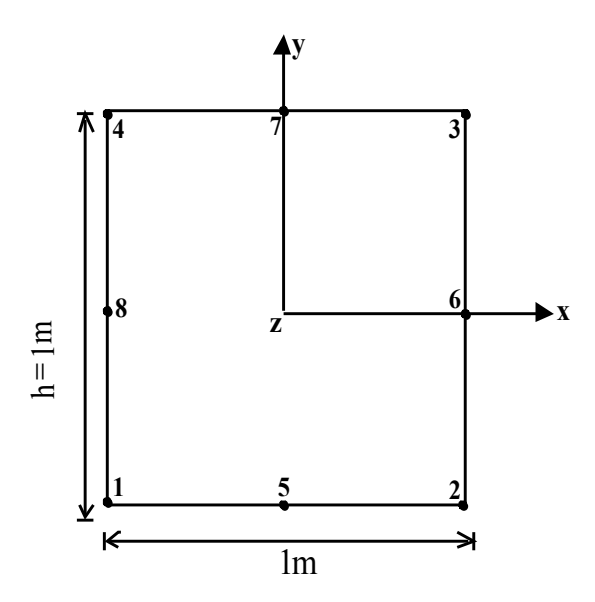
Titre: WTNV112 - Écoulement gravitaire dans un milieu por[...]

Responsable : Sylvie GRANET Clé : V7.31.112 Révision : 5642

3 Modélisation A

3.1 Caractéristiques de la modélisation A

Modélisation plane : D_PLAN_HHM



1 maille DPQ8 de la modélisation D PLAN HHM: HHM DPQ8

3.2 Résultat de la modélisation A

Discrétisation en temps: Plusieurs pas de temps (16) pour étudier l'évolution de la pression pendant la phase transitoire jusqu'à se stabiliser. Le schéma en temps est implicite $(\theta = 1)$.

Liste des instants de calcul en secondes:

$$1,5,10,50,100,500,10^3,5.\times10^3,10^4,5.\times10^4,10^5,5.\times10^5,10^6,5.\times10^6,10^7,10^{10}$$
.

Les inconnues nodales : pressions de fluides évaluées dans *Code_Aster* sont des variations par rapport aux pressions initiales, c'est pourquoi ce tableau présente des variations de pression dans notre comparaison entre le calcul *Code_Aster* et la solution de référence. De plus les variables de pression utilisées dans *Code_Aster* pour évaluer les lois de comportement sont la pression totale du gaz et la pression capillaire.

Responsable : Sylvie GRANET

Date : 15/02/2011 Page : 11/20 Clé : V7.31.112 Révision : 5642

Nœud / point	Numéro d'ordre / instant (s)	Valeur	Pression (Pa)	Tolérance
1,2,5/ <i>A</i> , <i>B</i>	1(t=1 s)	PRE1	-8,565 .10 ⁻³	10^{-4}
	2(t=5s)	PRE1	-4,282.10 ⁻²	10^{-4}
	3(t=10s)	PRE1	-8,565.10 ⁻²	10^{-4}
	4(t=50s)	PRE1	-4,282.10 ⁻¹	1%
	$8(t=5.10^3s)$	PRE1	-4,26.10 ⁺¹	1%
	$16(t=10^{10}s)$	PRE1	-4,996.10 ⁺³	1%
	1(t=1s)	PRE2	6,796.10 -6	10^{-4}
	2(t=5s)	PRE2	3,398.10 -5	10^{-4}
	3(t=10s)	PRE2	6,796.10 -5	10^{-4}
	4(t=50s)	PRE2	3,398.10 -4	10^{-4}
	$8(t=5.10^3s)$	PRE2	3,384.10 -2	10^{-4}
	$16(t=10^{10}s)$	PRE2	3,964	10^{-3}
3,4,7/C, D	1(t=1s)	PRE1	8,565 .10 ⁻³	10^{-4}
	2(t=5s)	PRE1	4,282.10 -2	10^{-4}
	3(t=10s)	PRE1	8,565.10 -2	10^{-4}
	4(t=50s)	PRE1	4,282.10 -1	1%
	$8(t=5.10^3 s)$	PRE1	4,26.10 +1	1%
	$16(t=10^{10}s)$	PRE1	4,996.10 ⁺³	1 %
	1(t=1 s)	PRE2	-6,796.10 ⁻⁶	10^{-4}
	2(t=5s)	PRE2	-3,398.10 ⁻⁵	10^{-4}
	3(t=10s)	PRE2	-6,796.10 ⁻⁵	10^{-4}
	4(t=50s)	PRE2	-3,398.10 -4	10^{-4}
	$8(t=5.10^3 s)$	PRE2	-3,384.10 -2	10^{-4}
	$16(t=10^{10}s)$	PRE2	-3,964	10^{-3}

Titre: WTNV112 - Écoulement gravitaire dans un milieu por[...]

Date: 15/02/2011 Page: 12/20

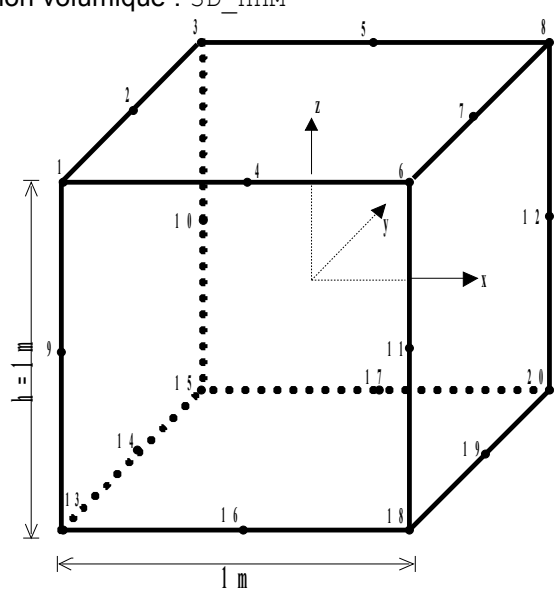
Responsable: Sylvie GRANET

Clé: V7.31.112 Révision: 5642

4 Modélisation B

4.1 Caractéristiques de la modélisation B

Modélisation volumique: 3D HHM



1 maille HEXA20 de la modélisation 3D HHM: HHM HEXA20

4.2 Résultat de la modélisation B

Discrétisation en temps : Plusieurs pas de temps (16) pour étudier l'évolution de la pression pendant la phase transitoire jusqu'à se stabiliser. Le schéma en temps est implicite $(\theta = 1)$.

Liste des instants de calcul en secondes:

$$1,5,10,50,100,500,10^3,5.\times 10^3,10^4,5.\times 10^4,10^5,5.\times 10^5,10^6,5.\times 10^6,10^7,10^{10}.$$

Les inconnues nodales de pression de fluide évaluées dans *Code_Aster* sont des variations par rapport aux pressions initiales, c'est pourquoi ce tableau présente des variations de pression dans notre comparaison entre le calcul *Code_Aster* et la solution de référence. De plus les variables de pression utilisées dans *Code_Aster* pour évaluer les lois de comportement sont la pression totale du gaz et la pression capillaire.

Responsable : Sylvie GRANET

Date: 15/02/2011 Page: 13/20 Clé: V7.31.112 Révision: 5642

Nœud / point	Numéro d'ordre / instant (s)	Valeur	Pression (Pa)	Tolérance
13 à 20 / A et B	1(t=1s)	PRE1	-8,565 .10 ⁻³	10^{-4}
	2(t=5s)	PRE1	-4,282.10 ⁻²	10^{-4}
	3(t=10s)	PRE1	-8,565.10 ⁻²	10^{-4}
	4(t=50s)	PRE1	-4,282.10 ⁻¹	1%
	$8(t=5.10^3 s)$	PRE1	-4,26.10 ⁺¹	1%
	$16(t=10^{10}s)$	PRE1	-4,996.10 ⁺³	1%
	1(t=1s)	PRE2	6,796.10 -6	10^{-4}
	2(t=5s)	PRE2	3,398.10 -5	10^{-4}
	3(t=10s)	PRE2	6,796.10 -5	10^{-4}
	4(t=50s)	PRE2	3,398.10 -4	10^{-4}
	$8(t=5.10^3 s)$	PRE2	3,384.10 -2	10^{-4}
	$16(t=10^{10}s)$	PRE2	3,964	10^{-3}
1 à 8 / C et D	1(t=1s)	PRE1	8,565 .10 ⁻³	10^{-4}
	2(t=5s)	PRE1	4,288.10 -2	10^{-4}
	3(t=10s)	PRE1	8,565.10 -2	10^{-4}
	4(t=50 s)	PRE1	4,282.10 -1	1%
	$8(t=5.10^3 s)$	PRE1	4,26.10 +1	1%
	$16(t=10^{10}s)$	PRE1	4,996.10 +3	1%
	1(t=1s)	PRE2	-6,796.10 ⁻⁶	10^{-4}
	2(t=5s)	PRE2	-3,398.10 -5	10^{-4}
	3(t=10s)	PRE2	-6,796.10 ⁻⁵	10^{-4}
	4(t=50s)	PRE2	-3,398.10 -4	10^{-4}
	$8(t=5.10^3 s)$	PRE2	-3,384.10 -2	10^{-4}
	$16(t=10^{10}s)$	PRE2	-3,964	10^{-3}

Révision: 5642

Date: 15/02/2011 Page: 14/20

Clé: V7.31.112

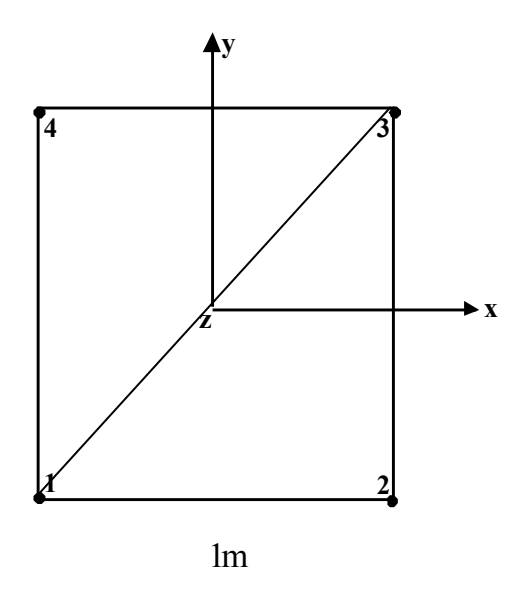
Titre: WTNV112 - Écoulement gravitaire dans un milieu por[...]

Responsable : Sylvie GRANET

5 Modélisation C

5.1 Caractéristiques de la modélisation C

Modélisation plane: D PLAN HHM



2 mailles DPTR6 de la modélisation D PLAN HHM: HHM DPTR6

5.2 Résultat de la modélisation C

Discrétisation en temps : Plusieurs pas de temps (16) pour étudier l'évolution de la pression pendant la phase transitoire jusqu'à se stabiliser. Le schéma en temps est implicite $(\theta = 1)$.

Liste des instants de calcul en secondes:

$$1,5,10,50,100,500,10^3,5.\times10^3,10^4,5.\times10^4,10^5,5.\times10^5,10^6,5.\times10^6,10^7,10^{10}$$
.

Les inconnues nodales : pressions de fluides évaluées dans *Code_Aster* sont des variations par rapport aux pressions initiales, c'est pourquoi ce tableau présente des variations de pression dans notre comparaison entre le calcul *Code_Aster* et la solution de référence. De plus les variables de pression utilisées dans *Code_Aster* pour évaluer les lois de comportement sont la pression totale du gaz et la pression capillaire.

Responsable : Sylvie GRANET

Date : 15/02/2011 Page : 15/20 Clé : V7.31.112 Révision : 5642

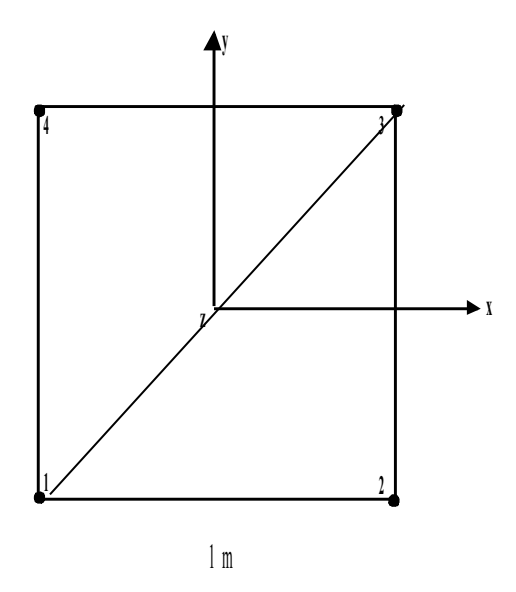
Nœud / point	Numéro d'ordre l instant (s)	Valeur	Pression (Pa)	Tolérance
1,2 / A et B	1(t=1 s)	PRE1	-8,565 .10 ⁻³	10^{-4}
	2(t=5s)	PRE1	-4,282.10 ⁻²	10^{-4}
	3(t=10s)	PRE1	-8,565.10 ⁻²	10^{-4}
	4(t=50s)	PRE1	-4,282.10 ⁻¹	1%
	$8(t=5.10^3s)$	PRE1	-4,26.10 ⁺¹	1%
	$16(t=10^{10}s)$	PRE1	-4,996.10 ⁺³	1%
	1(t=1s)	PRE2	6,796.10 -6	10^{-4}
	2(t=5s)	PRE2	3,398.10 -5	10^{-4}
	3(t=10s)	PRE2	6,796.10 -5	10^{-4}
	4(t=50s)	PRE2	3,398.10 -4	10^{-4}
	$8(t=5.10^3 s)$	PRE2	3,384.10 -2	10^{-4}
	$16(t=10^{10}s)$	PRE2	3,964	10^{-3}
3,4 / C et D	1(t=1s)	PRE1	8,565 .10 ⁻³	10^{-4}
	2(t=5s)	PRE1	4,282.10 -2	10^{-4}
	3(t=10s)	PRE1	8,565.10 -2	10^{-4}
	4(t=50s)	PRE1	4,282.10 -1	1%
	$8(t=5.10^3s)$	PRE1	4,26.10 +1	1%
	$16(t=10^{10}s)$	PRE1	4,996.10 +3	1%
	1(t=1s)	PRE2	-6,796.10 ⁻⁶	10^{-4}
	2(t=5s)	PRE2	-3,398.10 ⁻⁵	10^{-4}
	3(t=10s)	PRE2	-6,796.10 ⁻⁵	10^{-4}
	4(t=50s)	PRE2	-3,398.10 -4	10^{-4}
	$8(t=5.10^3 s)$	PRE2	-3,384.10 -2	10^{-4}
	$16(t = 10^{10}s)$	PRE2	-3,964	10^{-3}

Date: 15/02/2011 Page: 16/20 Responsable : Sylvie GRANET Clé: V7.31.112 Révision: 5642

Modélisation D 6

6.1 Caractéristiques de la modélisation D

Modélisation plane: D_PLAN_HHMS



1 maille DPQ8 de la modélisation D PLAN HHMS: HHM DPQ8S

Date: 15/02/2011 Page: 17/20 Responsable: Sylvie GRANET Clé: V7.31.112 Révision: 5642

Résultat de la modélisation D 6.2

Nœud / point	Numéro d'ordre / instant (s)	Valeur	Pression (Pa)	Tolérance
1,2 / A et B	1(t=1 s)	PRE1	$-2,8549\times10^{-3}$	10^{-4}
	2(t=5s)	PRE1	-0,01427	10^{-4}
	3(t=10s)	PRE1	-0,028549	10^{-4}
	4(t=50s)	PRE1	-0,1427	10^{-2}
	$8(t=5.10^3 s)$	PRE1	-14,24	10^{-2}
	$16(t=10^{10}s)$	PRE1	-4995,0	10^{-2}
	1(t=1s)	PRE2	$2,2656\times10^{-6}$	10^{-4}
	2(t=5s)	PRE2	$1,1328\times10^{-5}$	10^{-4}
	3(t=10s)	PRE2	$2,2656\times10^{-5}$	10^{-4}
	4(t=50s)	PRE2	1,133×10 ⁻⁴	10^{-4}
	$8(t=5.10^3s)$	PRE2	0,011301	10^{-4}
	$16(t=10^{10}s)$	PRE2	3,9647	10^{-3}
3,4 / C et D	1(t=1s)	PRE1	$2,8549\times10^{-3}$	10^{-4}
	2(t=5s)	PRE1	0,01427	10^{-4}
	3(t=10s)	PRE1	0,028549	10^{-4}
	4(t=50s)	PRE1	0,1427	10^{-2}
	$8(t=5.10^3s)$	PRE1	14,24	10^{-2}
	$16(t=10^{10}s)$	PRE1	4997,0	10^{-2}
	1(t=1s)	PRE2	$-2,2656\times10^{-6}$	10^{-4}
	2(t=5s)	PRE2	$-1,1328\times10^{-5}$	10^{-4}
	3(t=10s)	PRE2	$-2,2656\times10^{-5}$	10^{-4}
	4(t=50s)	PRE2	$-1,133\times10^{-4}$	10^{-4}
	$8(t=5.10^3s)$	PRE2	-0,0113	10^{-4}
	$16(t=10^{10}s)$	PRE2	-3,9647	10^{-3}

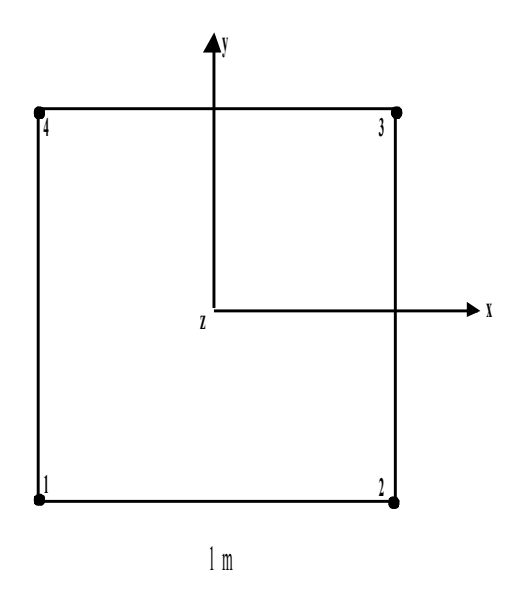
Responsable : Sylvie GRANET

Date : 15/02/2011 Page : 18/20 Clé : V7.31.112 Révision : 5642

7 Modélisation E

7.1 Caractéristiques de la modélisation E

Modélisation plane: D PLAN HHMD



1 maille DPQ8 de la modélisation D PLAN HHM: HHM DPQ8D

Titre: WTNV112 - Écoulement gravitaire dans un milieu por[...]
Responsable: Sylvie GRANET

Date : 15/02/2011 Page : 19/20 Clé : V7.31.112 Révision : 5642

7.2 Résultat de la modélisation E

Nœud / point	Numéro d'ordre / instant (s)	Valeur	Pression (Pa)	Tolérance
1,2 / A et B	1(t=1 s)	PRE1	$-2,85486\times10^{-3}$	10^{-4}
	2(t=5s)	PRE1	-0,0142743	10^{-4}
	3(t=10s)	PRE1	-0,0285487	10^{-4}
	4(t=50 s)	PRE1	-0,14274	10^{-4}
	$8(t=5.10^3 s)$	PRE1	-14,2406	10^{-4}
	$16(t=10^{10}s)$	PRE1	-4995,06	10^{-4}
	1(t=1s)	PRE2	$-2,26558\times10^{-6}$	10^{-4}
	2(t=5s)	PRE2	$1,13279\times10^{-5}$	10^{-4}
	3(t=10s)	PRE2	$2,26557\times10^{-5}$	10^{-4}
	4(t=50 s)	PRE2	$1,132764\times10^{-4}$	10^{-4}
	$8(t=5.10^3 s)$	PRE2	0,0113012	10^{-4}
	$16(t=10^{10}s)$	PRE2	3,96734	10^{-4}
3,4 / C et D	1(t=1s)	PRE1	$2,85488\times10^{-3}$	10^{-4}
	2(t=5s)	PRE1	-0,0142743	10^{-4}
	3(t=10s)	PRE1	0,0285487	10^{-4}
	4(t=50s)	PRE1	0,14274	10^{-3}
	$8(t=5.10^3 s)$	PRE1	14,2407	10^{-4}
	$16(t=10^{10}s)$	PRE1	4996,93	10^{-4}
	1(t=1s)	PRE2	$-2,26557\times10^{-6}$	10^{-4}
	2(t=5s)	PRE2	$-1,13279\times10^{-5}$	10^{-4}
	3(t=10s)	PRE2	$-2,26557\times10^{-5}$	10^{-4}
	4(t=50s)	PRE2	$-1,13276\times10^{-4}$	10^{-4}
	$8(t=5.10^3 s)$	PRE2	-0,0113012	10^{-4}
	$16(t=10^{10}s)$	PRE2	-3,96734	10^{-4}



Version default

Titre: WTNV112 - Écoulement gravitaire dans un milieu por[...]

Date: 15/02/2011 Page: 20/20

Responsable: Sylvie GRANET

Date: 15/02/2011 Page: 20/20

Clé: V7.31.112 Révision: 5642

8 Synthèse des résultats

Les valeurs de *Code_Aster* sont en bon accord avec les valeurs de référence.